

Odstranjivanje sumpora konvertiranjem gvožđa u toku LD-procesa

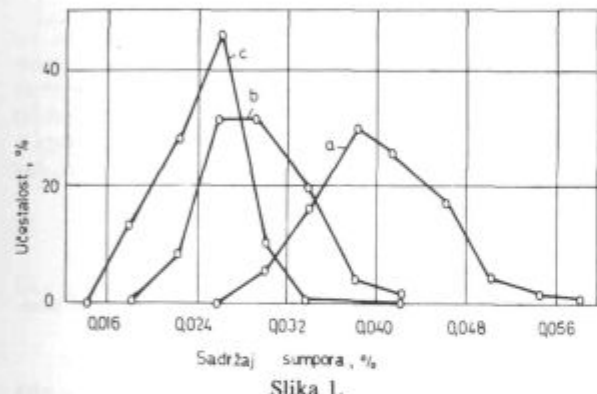
UDK: 669.184.66
ASM/SLA: D 10 a, D 3

Ice B. Risteski*

U radu je razrađen proces desumporacije metala u konvertoru na bazi pasivnog eksperimenta pomoći teorije matematičke statistike.

1. UVOD

Efektivnost desumporacije metala u 90 t-skim kiseoničnim konvertorima karakteriše se učestalošću kriva na sl. 1., koje su dobijene pri statističkoj obradi podataka na 900 šarži.



Učestalost krive sadržaja sumpora u gvožđu (a), u metalnoj kupki po završetku duvanja (b) i u gotovom čeliku (c)

Fig. 1

Frequency of the sulphur-content curve for pig iron (a), for metallic bath after completed blowing (b), and for manufactured steel (c)

Stepen desumporacije metala D za sve šarže pri proizvodnji niskougljeničnog tečnog čelika iznosio je 39,8 %. Od ove količine za period produvavanja odstranjeno je 29,2 % sumpora, a za vreme staloženosti, korekcije, dezoksidacije i ispusta 10,6 %.

Metalni uložak razmotrenih šarži sastojao se od 15 % čeličnih otpadaka i 85 % tečnog gvožđa čiji sastav je dat u tabeli 1.

Tabela 1: Hemijski sastav gvožđa

| Element | % |
|---------|-----------|
| C | 3,49–3,81 |
| Si | 0,60–1,00 |
| Mn | 0,06–1,10 |
| S | 0,03–0,05 |
| P | 0,10–0,12 |

Kiseonik je duvan sa intenzitetom od 220–250 m³/min i pritiskom od 1,4–1,7 MN/m². Vreme produvavanja je 25–30 min, a bazicitet troske 2,5–4.

Stepen desumporacije čelika D za period produvavanja zavisi od: sadržaja sumpora u gvožđu, desumporacione sposobnosti troske i njenog stepena iskorisćenja.

2. OBRADA EKSPERIMENTALNIH PODATAKA

Sumpor u konvertoru uglavnom se unosi sa gvožđem. Sadržaj sumpora u kreću, dobijen u gasne šahtne peći, ne prelazi 0,03 %.

Zavisnost stepena desumporacije metala za vreme produvavanja od količine sumpora u gvožđu [S]_G (sl. 2, A) može se izraziti korelacionom jednačinom:

$$D = -10,15 + 906,1 \cdot [S]_G. \quad (1)$$

Sa smanjenjem sadržaja sumpora u gvožđu relativna količina odstranjenog sumpora se isto tako smanjuje, kao rezultat približavanja ravnoteži raspodele sumpora između tečnih faza. Pri srazmerno niskim sadržajima sumpora u gvožđu moguć je i obratni proces, prelaz sumpora iz troske u metal.

Zavisnost količine sumpora u čeliku na kraju produvavanja [S]_C od sadržaja sumpora u gvožđu [S]_G u uslovi primjene tehnologije može se predstaviti sledećom jednačinom:

$$[S]_C = 0,0094 + 0,395 \cdot [S]_G. \quad (2)$$

Odavde sledi, pri proizvodnji lima za veoma duboko i posebno složeno izvlačenje, u kome se dopušta ne više od 0,02 % S, sadržaj sumpora u gvožđu ne treba da prelazi 0,027 %.

Desumporaciona sposobnost troske može se karakterizirati isto tako sa faktičkim koeficijentom raspodele sumpora između troske i metala $\eta_S = \frac{[S]}{[S]}$ i na sl. 2, B vidi se, da između tog parametra i stepena desumporacije D postoji uska korelaciona veza, data regresionom jednačinom:

$$D = 18,666 + 2,464 \cdot \eta_S. \quad (3)$$

Konstanta ravnoteže reakcije desumporacije K_S izražava se jednačinom

$$K_S = \frac{a_{S-2} \cdot [O]}{a_{O-2} \cdot [S]}, \quad (4)$$

koja uzima u obzir ne samo reakciju desumporacije

$$[S] + (O^{-2}) = (S^{-2}) + [O], \quad (5)$$

već i proces raspodele kiseonika i sumpora između faza [1]. Računajući, da su aktiviteti anjona sumpora i kiseonika jednaki proizvodu njihovih jonova adekvatnih koeficijenata aktiviteta, za ravnotežni koeficijent raspodele sumpora η_S može se napisati jednačina

* Ice B. Risteski, dipl. inž., stručni suradnik u Železari Smederevo

$$\eta_s^* = K_s \frac{\gamma_{O-2} \cdot n_{O-2}}{\gamma_{S-2} \cdot [O]}, \quad (6)$$

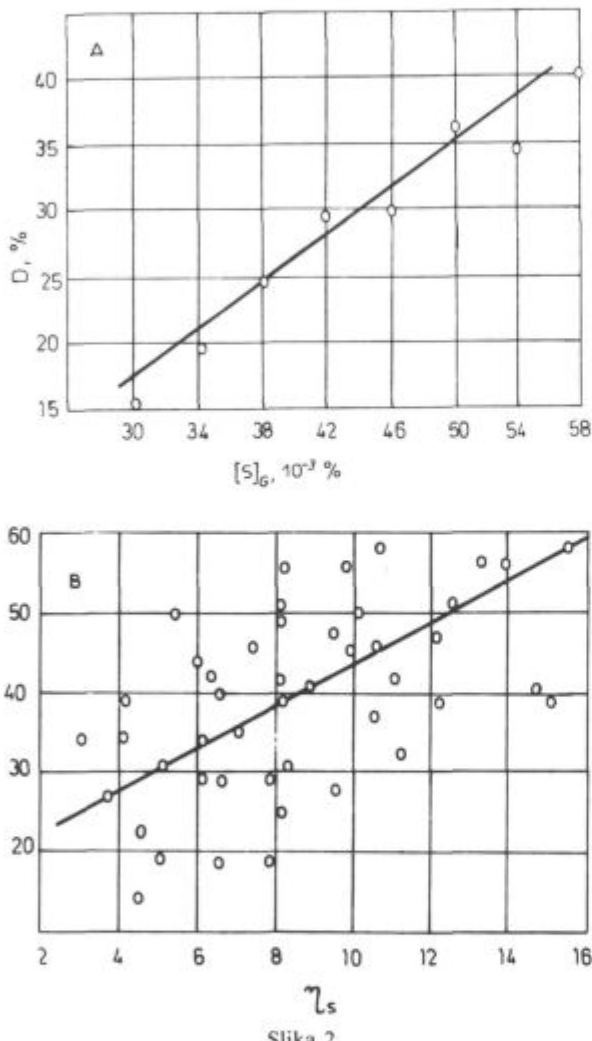
gde je $K_s = 32K_s$,

γ_{O-2} , γ_{S-2} — koeficijenti aktiviteta anjona kiseonika i sumpora,

n_{O-2} — količina gram-jona kiseonika u 100 g troske, odnosno gram-molekuli adekvatnih oksida,

$$n_{O-2} = n_{CaO} + n_{MgO} + n_{MnO} + n_{FeO} + 3n_{Fe_2O_3} - 2n_{SiO_2} - n_{Al_2O_3} - 3n_{P_2O_5}$$

[O] — koncentracija kiseonika u metalu, %.



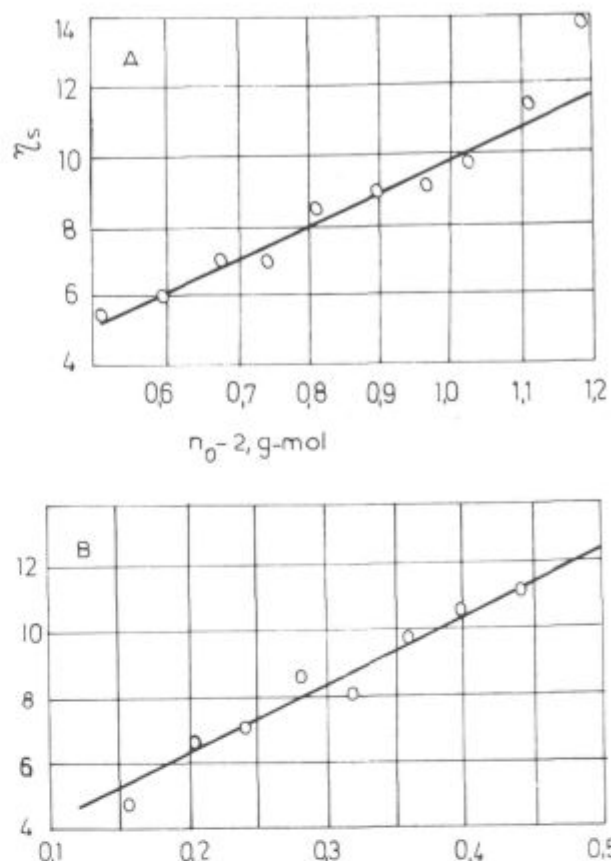
Slika 2.

Zavisnost stepena desumporacije metala D za period prodruvanja od sadržaja sumpora u gvoždu (A) i od faktičkog koeficijenta raspodele sumpora između troske i metala (B)

Fig. 2

Variation of the desulphurisation degree for metal D during the blowing period with the sulphur content in pig iron (A) and with the actual partition coefficient of sulphur between slag and metal (B)

U saglasnosti sa jonskom teorijom veličina n_{O-2} javlja se kao mera baziteta troske. Analiza eksperimentalnih podataka potvrđuje pozitivan uticaj baziciteta troske izražen preko n_{O-2} na koeficijent raspodele sumpora (sl. 3, A).



Slika 3.
 Zavisnost faktičkog koeficijenta raspodele sumpora η_s od bazičiteta n_{O-2} (A) i oksidisanosti troske $n_{FeO'}$ (B)

Variation of the actual partition coefficient of sulphur, η_s , with the basicity n_{O-2} (A) and the oxidation degree of slag $n_{FeO'}$ (B).

Korelaciona jednačina ima oblik:

$$\eta_s = 0,528 + 9,292 n_{O-2}, \quad (7)$$

Veličina n_{O-2} zavisi uglavnom od sadržaja oksida železa i kalcijuma u trosci, što se može izraziti jednačinom

$$n_{O-2} = 0,211 + 2,007 n_{FeO'} + 0,017 n_{CaO} \quad (8)$$

gde je

$$n_{FeO'} = n_{FeO} + 2n_{Fe_2O_3}.$$

Odstranjanje troske dovodi do povećanja sadržaja oksida železa. Pri tome se istovremeno smanjuje sadržaj kiselih oksida u trosci, a povećava n_{O-2} .

Količina kiseonika u metalu, negativno utiče na desumporaciju metalne kupke i zavisi od sadržaja (aktiviteta) oksida železa u trosci, i može se izraziti sledećom jednačinom

$$[O] = 0,0034 \cdot [C]^{-1} + 0,0948 \cdot L_o \cdot a_{FeO'} + 0,0015, \quad (9)$$

gde je

[C] — sadržaj ugljenika u metalu, %

L_o — koeficijent raspodele kiseonika, izračunat po jednačini Chipman-a:

$$\log L_o = \log \frac{[O]}{a_{FeO'(max)}} = -\frac{6320}{T} + 2,733, \quad (10)$$

gde je

$a_{FeO'}$ — aktivitet FeO, izračunat po kvaziternarnom dijagramu $FeO' - CaO' - SiO_2'$ [2].

Sumarni efekat uticaja FeO na koeficijent raspodele sumpora može se pokazati pomoću ocene znaka parcialnog izvoda

$$\eta' = \frac{\partial \eta_s}{\partial n_{FeO'}}.$$

Nakon zamena u formuli (6) značenja n_{O-2} i $[O]$ datti izrazima (8) i (9), diferenciranjem se dobija (ako unešemo oznaku $L_O \gamma_{FeO'}/n_\Sigma = k$):

$$\begin{aligned} \eta' = K_s' \cdot & \frac{\gamma_{O-2}}{\gamma_{S-2} (0,0015 + 0,0947 kn_{FeO'} + 0,0035 \cdot [C]^{-1})^2} \\ & \cdot [2,006(0,0015 + 0,0947 kn_{FeO'} + 0,0035 \cdot [C]^{-1}) - \\ & - 0,0947k(0,212 + 2,006n_{FeO'} + 0,018n_{CaO})] \quad (11) \end{aligned}$$

gde je

$\gamma_{FeO'}$ — koeficijent aktiviteta FeO u trosci,

n_Σ — količina gram-molekula oksida u 100 g troske.

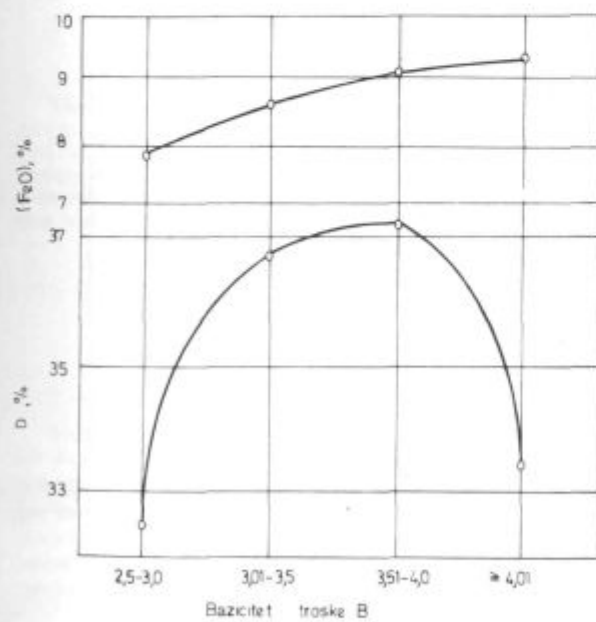
Znak izvoda η' ćemo odrediti znakom izraza, dobijenog nakon transformacije jednačine (11):

$$0,003 + 0,007[C]^{-1} - (0,0201 - 0,0017n_{CaO})k, \quad (12)$$

no analiza pokazuje, da pri unošenju bilo kojih vrednosti ulaznih parametara, karakterističnih za uslove izrade konvertorske šarže, on ostaje pozitivan. To potvrđuje pozitivan uticaj oksida železa na desumporaciju u konvertoru, što se vidi isto tako i iz dobijenih statističkih podataka (sl. 3, B). Jednačina korelacije ima oblik:

$$\eta_s = 2,328 + 20,114n_{FeO'}, \quad (13)$$

Pozitivni uticaj oksida železa na desumporaciju čelika u konvertoru objašnjava se porastom faktičkog ba-



Slika 4.

Zavisnost baziciteta troske $B = CaO/SiO_2$ koja sadrži okside železa od stepena desumporacije metala D

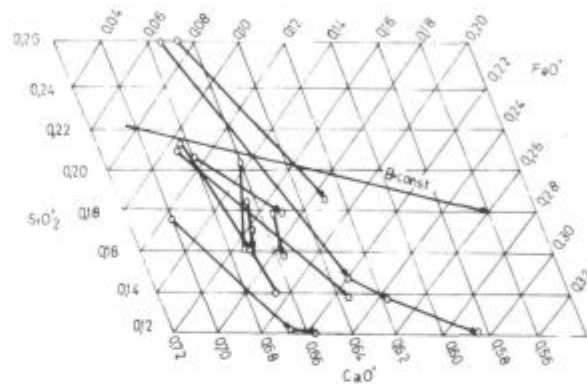
Fig. 4.

Variation of the slag basicity $B = CaO/SiO_2$, containing iron oxides, with the desulphurisation degree of metal D

ziciteta troske sa povećanjem sadržaja FeO u trosci (sl. 4.), pri jednakoj količini uvedenog kreča.

Dobijen kreč u šahtnim pećima ne uspeva za vreme prođuvavanja da se potpuno rastvoriti zbog njegove relativno niže reakcione sposobnosti i veće brzine konvertorskog procesa.

U konačnim troskama nerastvorenog kreča je svega 5—10 %, a nadalje, povećanje homogenosti troske, povećanje sadržaja oksida železa, dovodi do boljeg rastvaranja kreča i povećanja baziciteta. Na sl. 5. prikazana je promena hemijskog sastava troske u procesu duvanja šarže. Kratkotvremeno doduvavanje sa ciljem da se razredi troska, oksidira suvišni mangan ili vrši dopunska desumporacija, prati povećanje sadržaja oksida železa i baziciteta troske B (ukoliko se ugao linije ne poklapa sa ugлом prave $B = \text{const.}$).



Slika 5.

Promena hemijskog sastava troske u kvaziternarnom dijagramu za vreme procesa doduvanja šarže ($FeO' = FeO + 0,9 Fe_2O_3$; $CaO' = CaO + MgO + MnO$; $SiO_2' = SiO_2 + P_2O_5 + Al_2O_3$; koncentracija u molovima; $B = n_{CaO'}/n_{SiO_2'}$ — bazicitet troske)

Fig. 5

Variation of the chemical composition of slag in the quasiternary phase diagram during the blowing period ($FeO' = FeO + 0,9 Fe_2O_3$; $CaO' = CaO + MgO + MnO$; $SiO_2' = SiO_2 + P_2O_5 + Al_2O_3$; concentrations in moles; $B = n_{CaO'}/n_{SiO_2'}$ — slag basicity)

Pri prelazu od tečne faze ka nerastvorenom kreču sadržaj oksida železa se smanjuje [5]. Što su manje pore u komadima kreča i što je manja energija uzajamnog dejstva između čestica kreča i oksida železa t. j., što je niža reakcionalna sposobnost kreča, to je veći gradijent koncentracije oksida železa. U praksi to znači da pogoršanje reakcionalne sposobnosti kreča otežava formiranje troske. Za rastvaranje tvrdog niskoaktivnog kreča potreban je [6] veći sadržaj železa u trosci, nego u slučaju mekog visokoaktivnog kreča (adekvatno 18—26 i 16—20 %). Stepen desumporacije je u prvom slučaju mnogo niži.

Na eksperimentalnim šaržama u 90 t-skim konvertorima sa primenom visokoaktivnog mekog poroznog kreča, troska je sa bazicitetom od 3,5—4,0 sadržala 9—10 % FeO (sl. 4.). Pri korišćenju običnog krupnog kreča, pečenog u šahtnim pećima, u trosci sa baznošću 2,6 sadržalo se 14—15 % FeO, pri čemu je stepen rastvaranja kreča bio niži.

Poboljšanjem kvaliteta kreča pozitivno se smanjuje i uticaj oksida železa na desumporaciju čelika, jer potpuno rastvaranje kreča biva dostignuto znatno brže i pri manjem sadržaju FeO.

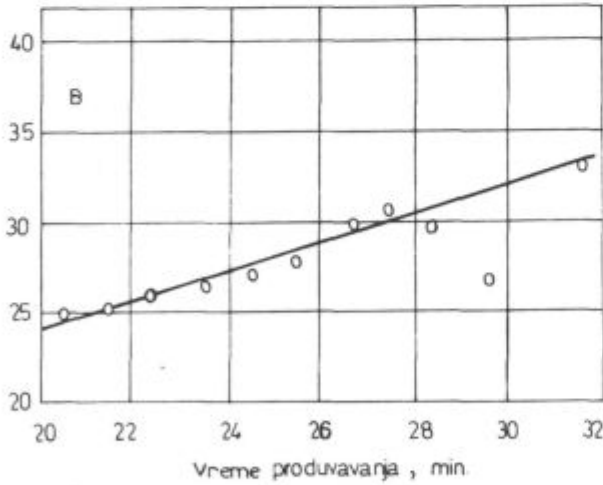
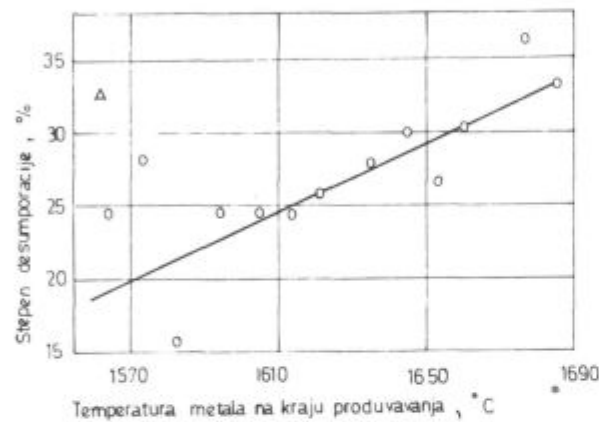
Ukupni uticaj baznosti troske (n_{O-2}) i oksidisanosti (n_{FeO}) na raspodelu sumpora između faza može biti izražen sledećom jednačinom:

$$\eta_S = 0,592 + 7,219 n_{O-2} + 5,645 n_{FeO} \quad (14)$$

Uticaj temperature na ravnotežnu raspodelu sumpora, saglasno formuli (6), veoma je složen, pošto gotovo sve veličine, koje ulaze u tu jednačinu zavise od temperature. Tako, sa povećanjem temperature konstanta ravnoteže raste [3]:

$$K_S = -\frac{6500}{T} + 2,625, \quad (15)$$

pri čemu se i η_S isto tako povećava. Istovremeno sa rastom temperature povećava se i sadržaj [O], što dovodi do smanjenja η_S^* . Temperatura utiče isto tako i na količinu gram-jonova n_{O-2} i na koeficijent aktivnosti jonova, zato tačna zavisnost η_S od temperature ne postoji.



Zavisnost stepena desumporacije u konvertoru od temperature metala na kraju prođuvanja (A) i od vremena prođuvanja (B)

Fig. 6

Variation of the desulphurisation degree in converter with the metal temperature at the end of the blowing period (A) and with the blowing time (B)

Tendencija povećavanja stepena desumporacije metala sa povećanjem temperature t na kraju prođuvanja (sl. 6, A) može da bude izražena jednačinom

$$D = -151,86 + 0,11 t. \quad (16)$$

Analogno utiče na stepen desumporacije i vreme prođuvanja τ (sl. 6, B):

$$D = 7,985 + 0,803 \cdot \tau. \quad (17)$$

Uticaj povišene temperature metalne kupke i duže vreme prođuvanja na poboljšanje desumporacije objašnjava se očigledno boljom desumporacionom sposobnošću troske. Svi parametri nemaju podjednako bitan praktičan značaj jer se vrednosti t mogu menjati samo u relativno uskom dijapazonu, a i posmatra se konstantna tendencija ka skraćivanju vremena prođuvanja.

Sadržaj mangana i silicijuma u gvožđu nema bitan uticaj na desumporaciju metala.

Poznato je dosta jednačina, koje daju količinsku zavisnost η_S^* pri ravnoteži od sastava troske i metala i temperature [1, 2, 3]. Podjednako su sve one dobijene za uslove Martinovog procesa i zato njihova primena treba da je oprezna. Tako, upoređenje faktičkog koeficijenta raspodele sumpora sa ravnotežnim, izračunatim po formulama iz rada S. L. Levin-a i I. I. Bornackog [4] je:

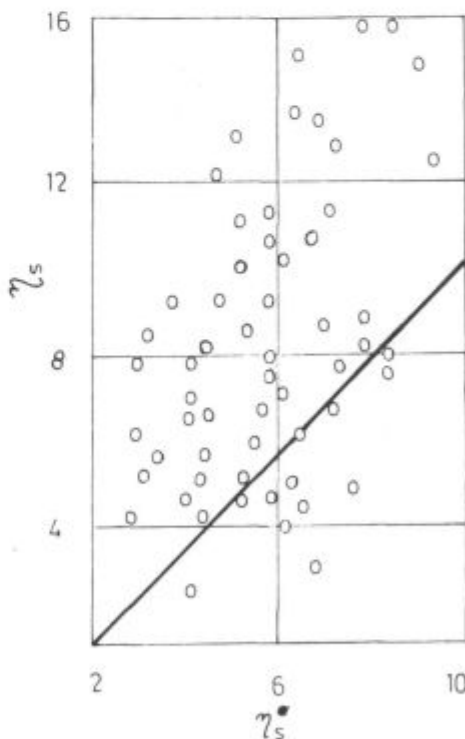
$$\eta_S^* = \frac{32(n_{FeO} + n_{MnO}) (n_{FeO} + n_{MnO} - n_{kis})}{n_{FeO} \cdot K_S \cdot \gamma_S}, \quad (18)$$

gde je

$$n_{MnO} = n_{CaO} + n_{MnO} + n_{MgO}$$

$$n_{kis} = n_{CaO} + n_{P_2O_5} + n_{Al_2O_3} + n_{Fe_2O_3},$$

pokazuje da u većini slučajeva $\eta_S > \eta_S^*$ (sl. 7.).



Sravnjenje faktičkog koeficijenta raspodele sumpora η_S sa ravnotežnom izračunatim η_S^* [4]

Fig. 7

Comparison of the actual partition coefficient for sulphur, η_S , and the calculated equilibrium one, η_S^* [4]

Očigledno, u konvertorskem procesu desumporaciona sposobnost troske je veča nego u Martinovom, t. j. reakcija desumporacije u večem stepenu se približava ravnoteži.

3. ZAKLJUČAK

Za dostizanje bolje desumporacije metala u kiseoničnom konvertoru neophodno je poboljšanje kvaliteta kreća, pre svega povećanje njegove reakcione sposobnosti, što obezbeđuje brzu asimilaciju kreća troskom, bez značajnog povećanja sadržaja oksida železa u njoj. Primena lako topivih visokoaktivnih sintetskih materijala (aglomerata, briketa) isto tako značajno povećavaju stepen desumporacije čelika.

LITERATURA

1. O. A. Esin, P. V. Geljd: Fizičeskaja himija pirometalurgičeskih procesov, č. 2., Metallurgija, 1966, s. 477—520.
2. G. Husson: Revue de métallurgie, 1962, v. 59, № 7—8, p. 603—630.
3. P. Gerasimenko: Ionna teorija na elektrohimična vzaemodjija šlaku i metalu pri virobnictvai stali, Naukova dumka, Kiev, 1966, s. 78—151.
4. S. L. Levin, I. I. Bornackij: Stalj, 1954, № 10, s. 893—899.
5. D. V. Pudikov: Stalj, 1966, № 2, s. 117—120.
6. K. F. Behrens, J. Koenitzer, T. Kootz: Journal of Metals, 1965, v. 17, № 7, p. 776—784.

ZUSAMMENFASSUNG

Untersuchungen haben ergeben, dass alle Einflussfaktoren die die Geschwindigkeit der Kalkauflösung beschleunigen vergrössern auch den Verteilungs koeffizient beim LD Verfahren. Das Entschwefeln des Metallbades ist hauptsächlich von der schnellen Bildung homogener Schlacke grösserer Basizität, Reaktionsfähigkeit und optimaler Viskosität abhängig. Die

Schlacke mit einer Basizität $B = 4$ ist optimal nicht nur für die Entschwefelung sondern auch für das Frischen und den Metallverlust. Grössere Kalkzugabe verzögert die Schlackenbildung so, dass am Ende des Prozesses nur schwer homogene Schlacke grösserer Basizität und kleiner Viskosität erreicht wird. Dadurch wird die Entschwefelung negativ beeinflusst.

SUMMARY

The conclusion can be made that all parameters which increase the dissolution rate of lime also increase the partition coefficient in the process. Removal of sulphur from the melt basically depends on the rapid formation of homogeneous slag with increased basicity, reactivity, and optimal viscosity. The slag with basicity around 4 is optimal not only for desulphuri-

sation but also for oxidation and metal loss. Addition of greater amounts of lime hinders the formation of slag so that a homogeneous slag with increased basicity and low viscosity can be obtained with difficulty at the end of process. And this has a negative influence on the removal of sulphur.

ЗАКЛЮЧЕНИЕ

Можно заключить, что все факты, которые увеличивают быстроту растапливания извести увеличивают также коэффициент распределения серы в процессе удаления серы из стали LD-способом. Удаление серы из расплава зависит главным образом от быстроты образования гомогенного шлака с увеличенной основностью, реакционной способностью и оптимальной вязкости. Шлак основности

около 4 не только оптимален для удаление серы, но также для окисления и потери металла. Увеличенная добавка извести замедляет образование шлака так, что в конце процесса весьма трудно получить гомогенный шлак увеличенной основности и незначительной вязкости. Это же отрицательно влияет на удаление серы.